

НАБЛЮДЕНИЕ

РЕЗОНАНСНЫХ РЕЛАКСАЦИОННЫХ АКУСТИЧЕСКИХ ФОНОНОВ
ПО ВИБРОННОЙ АНТИСТОКОСОВОЙ ЛЮМИНЕСЦЕНЦИИ
В ПРИМЕСНЫХ КРИСТАЛЛАХ

A. B. Акимов, A. A. Каплянский, A. L. Сыркин

В двухактивированных кристаллах $\text{CaF}_2 - \text{Eu}^{2+}$, Sm^{2+} осуществлены эксперименты по прямому наблюдению неравновесных акустических фононов, генерируемых при безызлучательной релаксации электронного возбуждения примесных ионов. Резонансные фононы ~ 1 ТГц, испущенные при переходах между электронными уровнями иона Eu^{2+} зарегистрированы по вибронной люминесценции иона Sm^{2+} .

В недавних работах [1, 2] указывалось на возможность использования антистокосовой вибронной люминесценции активированных кристаллов ($\text{SrF}_2 - \text{Eu}^{2+}$ [1], $\text{CaF}_2 - \text{Sm}^{2+}$ [2]) для регистрации спектра неравновесных акустических фононов терагерцовового диапазона ("вибронный фононный спектрометр" – ВФС). В настоящем сообщении ВФС впервые использован для детектирования неравновесных акустических фононов, возникающих в кристалле в процессе безызлучательной релаксации оптически возбужденных примесных ионов [3]. В работе использованы кристаллы CaF_2 с двумя активаторами (Eu^{2+} ; Sm^{2+}), при этом резонансные фононы, испущенные при переходах между электронными уровнями Eu^{2+} , зарегистрированы по антистокосовой вибронной люминесценции ионов Sm^{2+} .

Ориентированные монокристаллические образцы $\text{CaF}_2 - \text{Eu}^{2+}, \text{Sm}^{2+}$ размером $5 \times 1 \times 1 \text{ мм}^3$ ¹⁾ были помещены в жидкий гелий ($T = 2 \text{ K}$) и подвергались одноосному сжатию вдоль оси [001]. Ионы Eu^{2+} (основное состояние $4f^7, ^8S_{7/2}$) стационарно возбуждались в высокие состояния смешанной конфигурации $4f^6 5d$ путем освещения образца ртутной линией Hg 365 нм (лампа ДРШ-250 с фильтром ФС-7). Нижайший электронный уровень возбужденной $4f^6 5d$ -конфигурации ($2420 \text{ б} \text{ см}^{-1}$) при деформации расщеплен в дублет W_2, W_1 , с шириной $\Delta = W_2 - W_1$, которая может меняться в зависимости от напряжения сжатия p [4] (см. рис. 1). При безызлучательной релаксации возбуждения на $\Gamma_1^- (4f^5 5d \text{ см}^{-1}) \rightarrow \Gamma_4^+ (4f^6, ^7F_1 \text{ см}^{-1})$ в канале релаксации, включающем однофононные переходы $W_2 \rightarrow W_1$ должно происходить эффективное испускание в решетку резонансных фононов частоты $\hbar\omega = \Delta$ [5].

Для регистрации избыточной концентрации этих релаксационных фононов использовалась $d \rightarrow f$ люминесценция ионов Sm^{2+} на электронном переходе $\Gamma_1^- (4f^5 5d \text{ см}^{-1}) \rightarrow \Gamma_4^+ (4f^6, ^7F_1 \text{ см}^{-1})$, который дает в спектре при $T = 2 \text{ K}$ бесфоновую линию (БФЛ, 7085 Å при $p = 0$) и интенсивное вибронное крыло в стоксовой области от БФЛ [6, 7]. Люминесценция Sm^{2+} возбуждалась стационарно линиями Аг-лазера 4880, 5145 Å (которые не поглощаются ионами Eu^{2+}). В соответ-

¹⁾ Выращены В. Н. Баклановой при любезном содействии В. А. Архангельской.

вии с основной идеей ВФС [1, 2] предполагалось, что релаксационные фононы $\hbar\omega = \Delta$ дадут селективное увеличение стационарной интенсивности вибронного антистокса на частотном расстоянии Δ от БФЛ Sm^{2+} .

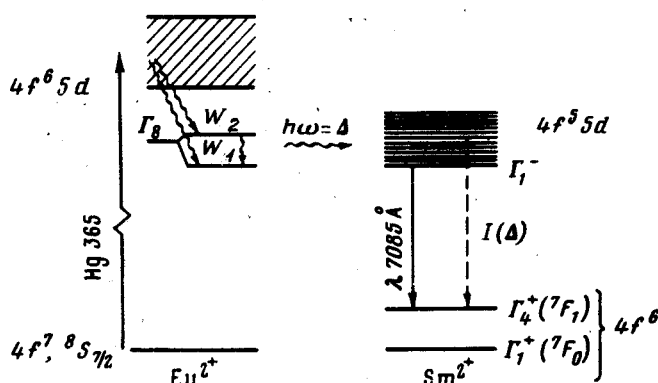


Рис. 1. Схема генерирования и детектирования релаксационных фононов в кристалле $\text{CaF}_2 - \text{Eu}^{2+}, \text{Sm}^{2+}$

В опытах изучалось влияние на стационарный спектр антистоксовой люминесценции Sm^{2+} в области линии $\Gamma_1^- \rightarrow \Gamma_4^+$, возбуждаемой Аг-лазером, дополнительного освещения кристалла линией Hg 365 нм, которое приводит к возбуждению ионов Eu^{2+} . (Освещение линией Hg 365 нм приводит и к дополнительному возбуждению ионов Sm^{2+} , однако эффективность этого процесса на порядок величины меньше возбуждения Sm^{2+} линиями Аг-лазера). Трудность измерений связана со слабостью антистоксовой вибронной люминесценции около БФЛ, а также с присутствием в этой области излучения неизвестной природы, не связанного с вибронным антистоксом перехода $\Gamma_1^- \rightarrow \Gamma_4^+$ в ионах Sm^{2+} . Измерения спектров велись по методу счета фотонов с накоплением сигнала.

На рис. 2 показаны "разностные" спектры излучения $\Delta I^{as}(\omega)$ в антистоксовой области от БФЛ Sm^{2+} $\Gamma_1^- \rightarrow \Gamma_4^+$ при различных значениях напряжения одноосного сжатия p . "Разностный" спектр есть $\Delta I^{as}(\omega) = I^{as}(\omega, \text{Hg} + \text{Ag}) - I^{as}(\omega, \text{Ag})$, где $I^{as}(\omega, \text{Hg} + \text{Ag})$ – спектр при одновременном возбуждении кристалла линией Hg 365 нм и Аг-лазером, а $I^{as}(\omega, \text{Ag})$ – спектр при возбуждении кристалла только Аг-лазером, частота ω отсчитывается от положения БФЛ (которое само смещается при деформации [6]). Справа на рис. 2 показана величина Δ расщепления уровня $\Gamma_8 \text{ Eu}^{2+}$ при различных p , измеренная по положению длинноволновой компоненты расщепленной линии люминесценции $W_1(4f^6d) \rightarrow {}^8S_{1/2}(4f^7)$ [4].

Как видно из рис. 2, в "разностном" спектре излучения $\Delta I^{as}(\omega)$ имеется четко выраженный максимум, который смещается в сторону высоких частот с ростом напряжения сжатия. Частота максимума сов-

падает с величиной Δ дублетного расщепления уровня $\Gamma_3 \text{ Eu}^{2+}$ при соответствующем напряжении сжатия (показана на рис. 2 стрелками). Ширина максимума ($2 + 5 \text{ см}^{-1}$) согласуется с величиной неоднородного уширения уровней W_2 , W_1 и с шириной БФЛ иона Sm^{2+} . Следует отметить также, что спектр люминесценции $I^{as}(\omega, \text{Hg})$ в антистоксовой области от БФЛ Sm^{2+} при возбуждении только $\text{Hg} 365 \text{ нм}$ не содержит никакой особенности на частоте $\omega = \Delta$. Таким образом, особенность $\Delta I^{as}(\omega)$ связана с генерированными Eu^{2+} фононами.

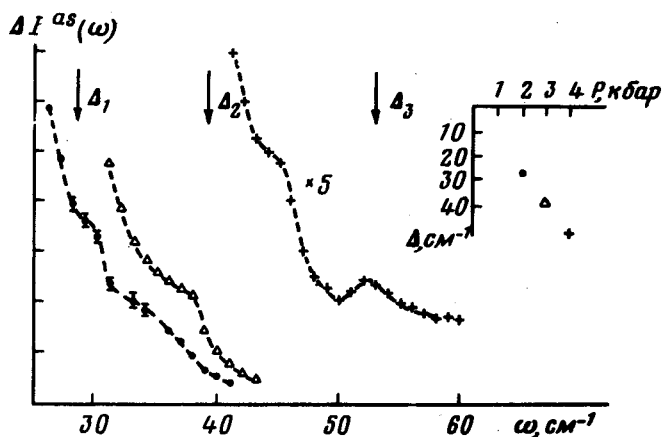


Рис. 2. "Разностные" антистоксовые спектры излучения Sm^{2+} при различных напряжениях сжатия p

Как известно [1, 2], интенсивность антистоксовой вибронной люминесценции на частоте ω : $I^{as}(\omega) = I^s(\omega) \bar{n}(\omega)$, где $I^s(\omega)$ — интенсивность стоксовой люминесценции, а $\bar{n}(\omega)$ — число заполнения фононов на частоте ω . Основанная на измерениях I^{as} , I^s оценка по этой формуле дает для чисел заполнения генерированных резонансных фононов с $\omega = \Delta$ величину $\bar{n} = 10^{-4} + 10^{-5}$. Эта величина согласуется со значениями \bar{n} , полученными независимо из известного темпа генерации фононов ионами Eu^{2+} : $\bar{n} = \frac{kP\tau\bar{v}^3}{12\pi\nu^2dv}$, где $P \approx 10^{22} \text{ см}^{-3} \cdot \text{сек}^{-1}$ — число оптических квантов, поглощаемых ионами Eu^{2+} в единицу времени в единице объема, $\bar{v} = 3,5 \cdot 10^5 \text{ см/сек}$ — средняя скорость звука, $\tau \approx 10^{-6} \text{ сек}$ — время жизни фононов, в возбужденном объеме [2], $k = 1/2$ — квантовый выход генерации релаксационных фононов, $\nu = 10^{12} \text{ сек}^{-1}$ и $dv = 3 \cdot 10^{10} \text{ сек}^{-1}$ — соответственно частота и ширина генерируемых фононов ($\nu = 1/2\pi\Delta$).

В заключение отметим, что совмещение в двухактивированных кристаллах в одном объеме разных ионов, одни из которых генерируют, а

другие детектируют фононы, открывает новые возможности изучения генерации и распространения фононов терагерцового диапазона в кристаллах.

Физико-технический институт
им. А.Ф.Иоффе
Академии наук СССР

Поступила в редакцию
11 июня 1980 г.

Литература

- [1] W.E.Bron, W.Grill. Phys. Rev., B16, 5303, 5315, 1977.
- [2] A.B. Акимов, С.А.Басун, А.А.Каплянский, Р.А.Гитов. ФТТ, 21, 231, 1979.
- [3] R.S.Meltzer, J.E.Rives. Phys. Rev. Lett., 38, 421, 1977.
- [4] А.А.Каплянский, А.К.Пржевуский. Оптика и спектроскопия, 19, 597, 1965.
- [5] W.Eisfeld, K.F.Renk. Appl. Phys. Lett. to be published.
- [6] А.А.Каплянский, А.К.Пржевуский. Оптика и спектроскопия, 20, 1045, 1966.
- [7] В.А.Бонч-Бруевич, И.В.Игнатьев, В.В.Овсянкин. Оптика и спектроскопия, 44, 510, 1978.